

УДК 539.3

## Рациональные параметры нити конечной жесткости, нагруженной равномерно распределенной нагрузкой

Ленда А.В.

ООО «Укринсталькон им. В.Н. Шимановского», Украина

**Аннотация.** Проведено исследование гибкой нити и нити конечной жесткости при действии равномерно распределенной нагрузки. Установлены и приведены в виде семейства графиков рациональные относительные параметры нитей, которые отвечают их минимальному объему.

**Анотація.** Проведено дослідження гнучкої нитки та нитки скінченної жорсткості при дії рівномірно розподіленого навантаження. Встановлено і наведено у вигляді сімейства графіків раціональні відносні параметри ниток, що відповідають їх мінімальному об'єму.

**Abstract.** Research of flexible tendon and finite rigidity tendon under the action of uniformly distributed load is provided. Set of graphs of rational relative parameters of tendons, which correspond a minimum of their volume are gotten and received.

**Ключевые слова:** гибкая нить, нить конечной жесткости, высота сечения нити, относительный объем нити.

**Введение.** В последнее время особый интерес проявляется к висячим системам, получившим широкое распространение в различных отраслях народного хозяйства. При проектировании несущих элементов таких систем актуальной проблемой является выбор рациональных параметров элемента исходя из классических условий оптимального проектирования – обеспечить заданные свойства конструкции при минимальных затратах материала. Поэтому решение данного вопроса при действии на конструкцию наиболее распространенного вида загрузки – равномерно распределенной нагрузки – имеет для проектировщиков первостепенное значение.

**Постановка задачи.** Для начала рассмотрим оптимизационную задачу о поиске геометрических параметров гибкой нити минимального объема.

Дано:  $l$  – пролет нити;  $q$  – погонная равномерно распределенная нагрузка;  $[\sigma]$  – допустимое напряжение для материала нити.

Найти:  $f$  – стрелу провеса гибкой нити из условия минимума объема нити.

**Гибкая нить.** Для решения задачи используем аппроксимацию линии провеса нити дугой окружности.

В связи с этим логично ввести в рассмотрение вспомогательные геометрические параметры:  $L$  – длина дуги аппроксимирующей окружности;

$R$  – радіус дуги аппроксимирующей окружности;  $\varphi$  – угол, соответствующий половине дуги аппроксимирующей окружности. При выбранной аппроксимации длина дуги нити выражается через ее радиус и угол  $\varphi$  по формуле

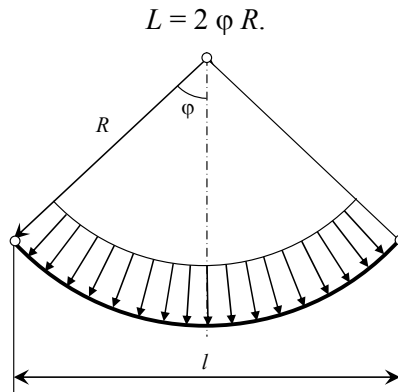


Рис. 1. Общая схема нити

Усилие в нити определяется простой формулой:

$$H = q R.$$

Площадь поперечного сечения нити выражается через это усилие формулой

$$A = \frac{H}{[\sigma]},$$

а ее объем

$$V_0 = L A.$$

Для избранной аппроксимации более удобно вместо стрелы провеса искать угол  $\varphi$ , через который стрела провеса выражается формулой:

$$f = R(1 - \cos \varphi).$$

Выразим объем нити в функции  $\varphi$ :

$$V_0 = \frac{\varphi q l^2}{2 \sin^2 \varphi [\sigma]}.$$

Для определения  $\varphi$ , соответствующего минимуму объема нити, продифференцируем объем нити  $V_0$  по искомой переменной  $\varphi$  и приравняем эту производную нулю:

$$\frac{dV_0}{d\varphi} = \frac{2 \sin \varphi [\sigma] q l^2}{(2 \sin^2 \varphi [\sigma])^2} (\sin \varphi - 2 \varphi \cos \varphi) = 0.$$

Это уравнение эквивалентно следующему:

$$\operatorname{tg} \varphi = 2 \varphi.$$

Полученное трансцендентное уравнение имеет ненулевое решение

$$\varphi = 1,167,$$

что соответствует относительной стреле провеса:

$$\frac{f}{l} = \frac{R(1 - \cos \varphi)}{l} = \frac{1}{2} \operatorname{tg} \frac{\varphi}{2}.$$

Оптимальное значение относительной стрелы провеса

$$\frac{f}{l} = \frac{1}{2} \operatorname{tg} \frac{1,166}{2} = 0,33.$$

**Нить конечной жесткости с заданной высотой сечения.** Как и в предыдущем случае, будем пользоваться приближенной расчетной схемой, в которой нагрузка действует по нормали к деформированной схеме нити (см. рис. 1). Для придания жесткости нити разовьем ее по высоте. Обозначим через  $a$  половину высоты сечения. В случае несимметричного сечения  $a$  – расстояние от центра тяжести сечения до нижнего волокна. Будем полагать, что закрепление концов нити близко к шарнирному, и изгибающий момент по всей длине нити постоянен.

Если стержень, из которого сделана нить, растянут силой  $H$  и искривлен по дуге с радиусом  $R$ , то напряжение в нижнем волокне составит:

$$\sigma = \frac{H}{A} + \frac{Ea}{R}, \quad (1)$$

где  $A$  – площадь поперечного сечения нити;  $E$  – модуль упругости материала нити.

Действительно, по формуле сопротивления материалов

$$\sigma = \frac{H}{A} + \frac{M}{I} a. \quad (2)$$

В то же время,  $M = \frac{EI}{R}$  или  $\frac{M}{I} = \frac{E}{R}$ . Если в формулу (2) подставить это выражение, то получим формулу (1).

Рассмотрим следующую оптимизационную задачу.

Даны:

- пролет нити  $l$ ;
- погонная нагрузка  $q$ ;
- полувысота сечения  $a$ ;
- допускаемое напряжение  $[\sigma]$ .

Требуется найти угол  $\varphi$ , при котором объем нити будет минимальным.

Объем нити выражается формулой

$$V = 2R\varphi A. \quad (3)$$

Заметим, что

$$l = 2R \sin \varphi, \quad (4)$$

$$H = qR. \quad (5)$$

Из формул (2), (4), (5) найдем  $R$  и  $A$ :

$$R = \frac{l}{\sin \varphi} \text{ и } A = \frac{ql}{2 \sin \varphi \sigma - Eal}.$$

С учетом этого

$$V = \frac{\varphi}{\sin \varphi} \frac{ql^2}{2 \sin \varphi (\sigma - \frac{a}{l} 2E \sin \varphi)}. \quad (6)$$

Необходимым условием минимума объема  $V$  является равенство нулю производной  $\frac{dV}{d\varphi}$  при условии, что  $\sigma$  равняется допускаемому напряжению  $[\sigma]$

$$\frac{dV}{d\varphi} = \frac{l^2 q \left( \frac{[\sigma]}{E} \sin \varphi - 2 \frac{a}{l} \sin^2 \varphi - 2\varphi \frac{[\sigma]}{E} \cos \varphi + 6 \frac{a}{l} \varphi \cos \varphi \sin \varphi \right)}{2 \sin^3 \varphi E \left( \frac{[\sigma]}{E} - 2 \frac{a}{l} \sin^2 \varphi \right)^2} = 0. \quad (7)$$

Это равенство эквивалентно следующему:

$$\frac{[\sigma]}{E} \sin \varphi - 2 \frac{a}{l} \sin^2 \varphi - 2\varphi \frac{[\sigma]}{E} \cos \varphi + 6 \frac{a}{l} \varphi \cos \varphi \sin \varphi = 0,$$

которое можно записать так:

$$\frac{[\sigma]}{E}(1 - 2\varphi \operatorname{ctg} \varphi) + 2\frac{a}{l}(\sin \varphi + 3\varphi \cos \varphi) = 0. \quad (8)$$

Как видно из этого уравнения, значение  $\varphi$  не зависит от нагрузки на нить, а зависит только от двух безразмерных параметров:  $\frac{[\sigma]}{E}$  и  $\frac{a}{l}$ . Это обстоятельство значительно облегчает анализ поставленной задачи.

Уравнение (8) будем решать численным методом при различных значениях безразмерных параметров. Будем полагать, что  $\frac{[\sigma]}{E}$  изменяется

в диапазоне  $[0,001; 0,003]$ ,  $\frac{a}{l}$  – в диапазоне  $[10^{-5}; 10^{-2}]$ , что соответствует реальным пределам изменения этих параметров.

Результаты решения представлены в графическом виде, наглядно отображающем характер изменения данного результата для более жестких нитей.

Результаты являются функциями безразмерных параметров. Значения безразмерного параметра  $\frac{a}{l}$  отложены по оси абсцисс, а значения  $\frac{[\sigma]}{E}$  указаны в виде чисел рядом с соответствующей кривой.

На рис. 2 показаны оптимальные значения угла  $\varphi$ . Максимальное значение этого угла равно 1,167, что соответствует оптимальному значению угла для гибкой нити. С увеличением относительной высоты сечения нити оптимальные значения угла  $\varphi$  уменьшаются.

На рис. 3 показаны оптимальные отношения стрелы прогиба нити

$$f = R(1 - \cos \varphi)$$

к ее пролету  $l$ . Наибольшее значение этого отношения 0,33 наблюдается для нити с исчезающе малым отношением высоты сечения к пролету нити. С увеличением относительной высоты сечения нити эти отношения уменьшаются. Естественно, для более прочного материала оптимальные стрелы провеса нити имеют большие значения.

На рис. 4 показаны отношения объема нити конечной жесткости к объему гибкой нити  $V_0$ . Из графиков видно, что при увеличении жесткости нити эти отношения резко растут. Таким образом, за увеличение жесткости элемента приходится расплачиваться зачастую десятикратным расходом материала.

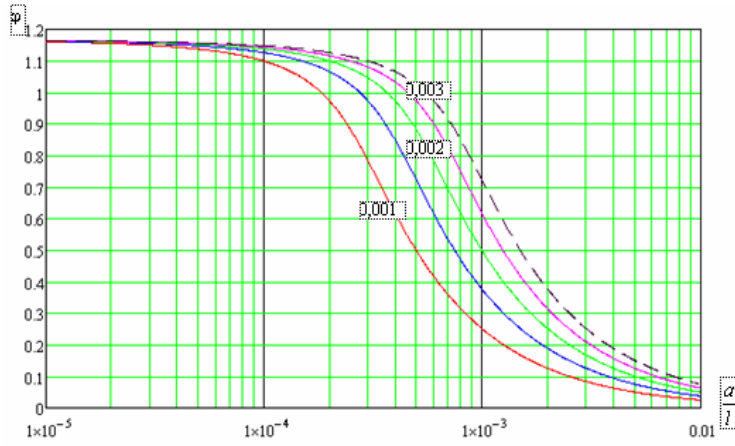


Рис. 2. Рациональные значения угла  $\varphi$

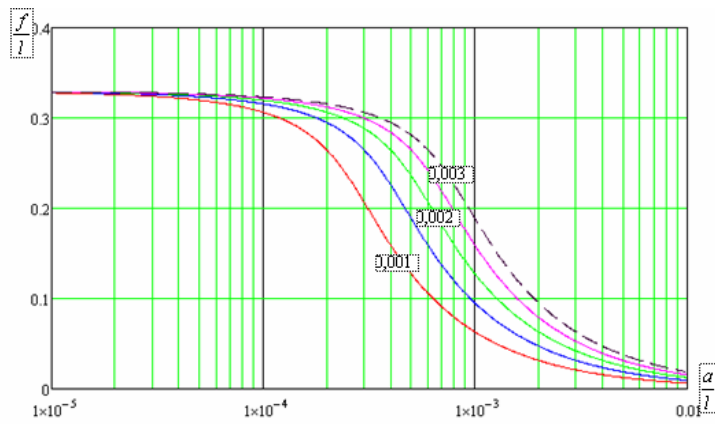


Рис. 3. Рациональные относительные стрелы провеса

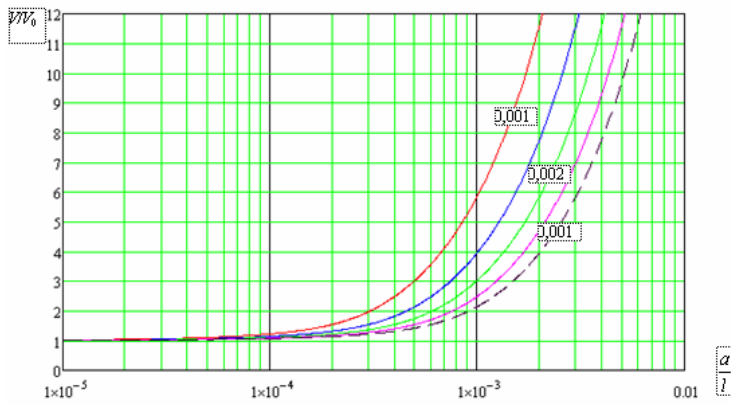


Рис. 4. Относительные объемы нити

### **Выводы**

Таким образом, на основании аппроксимации формы прогибов нити установлены рациональные относительные параметры гибкой нити и нитей конечной жесткости, соответствующие минимуму объема нити. Оказалось, что эти параметры не зависят от пролета нити и нагрузки на нее. Это позволяет все результаты исследований изобразить в виде семейства графиков.

### **Литература**

- [1] Качурин В.К. Гибкие нити с малыми стрелками. – Гостехтеориздат, 1956. – 224 с.
- [2] Качурин В.К. Статический расчет вантовых систем. – Л.: Стройиздат, 1969. – 141 с.

*Надійшла до редколегії 20.05.2012 р.*